

1 / 18

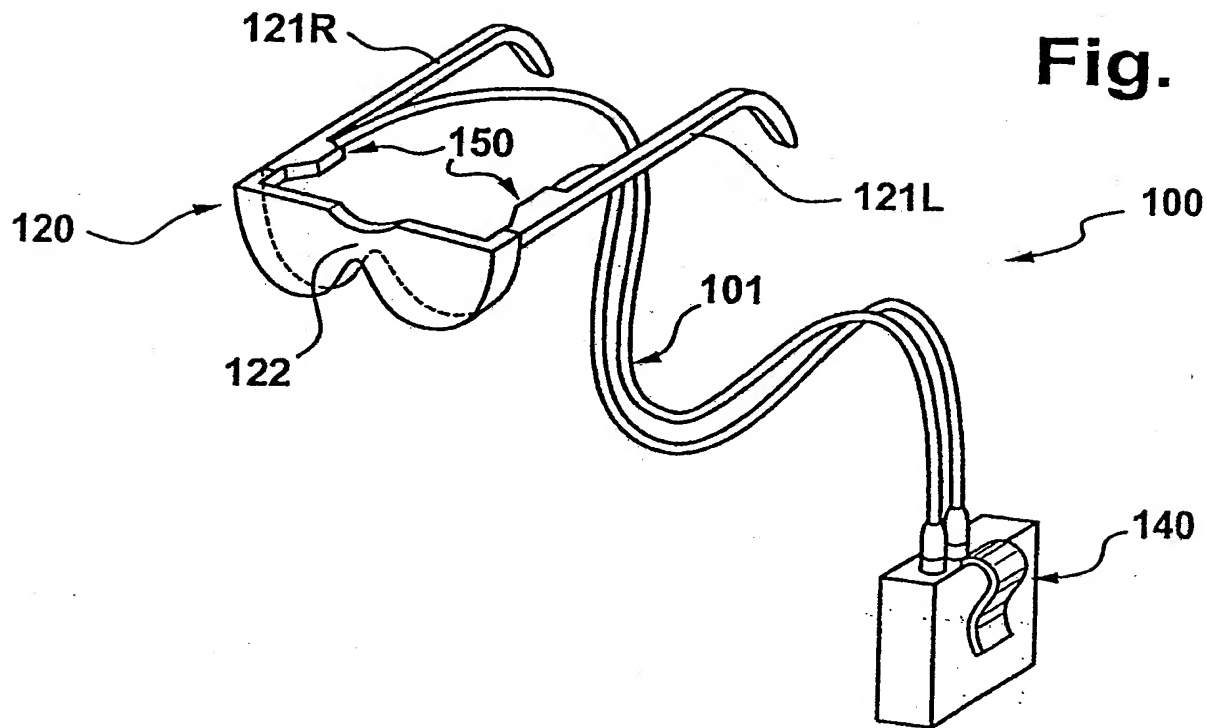


Fig. 1

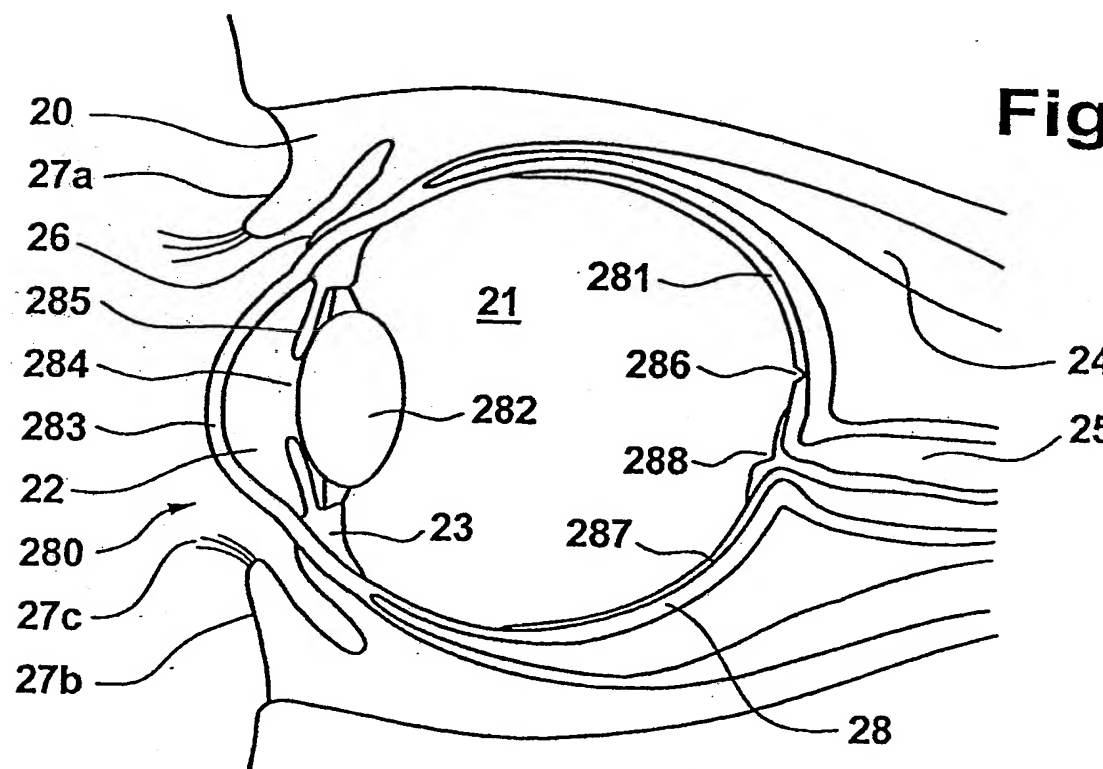
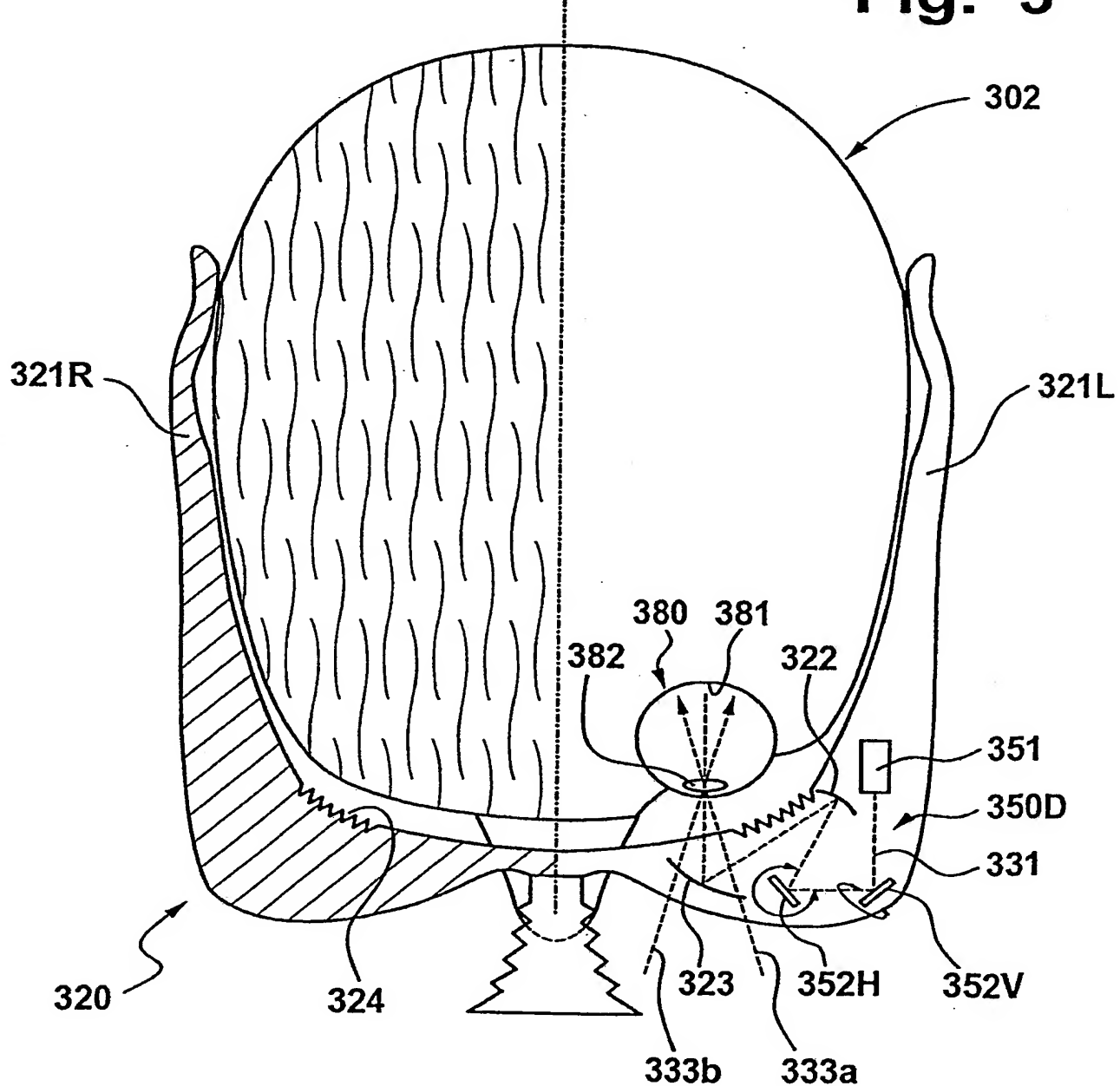


Fig. 2

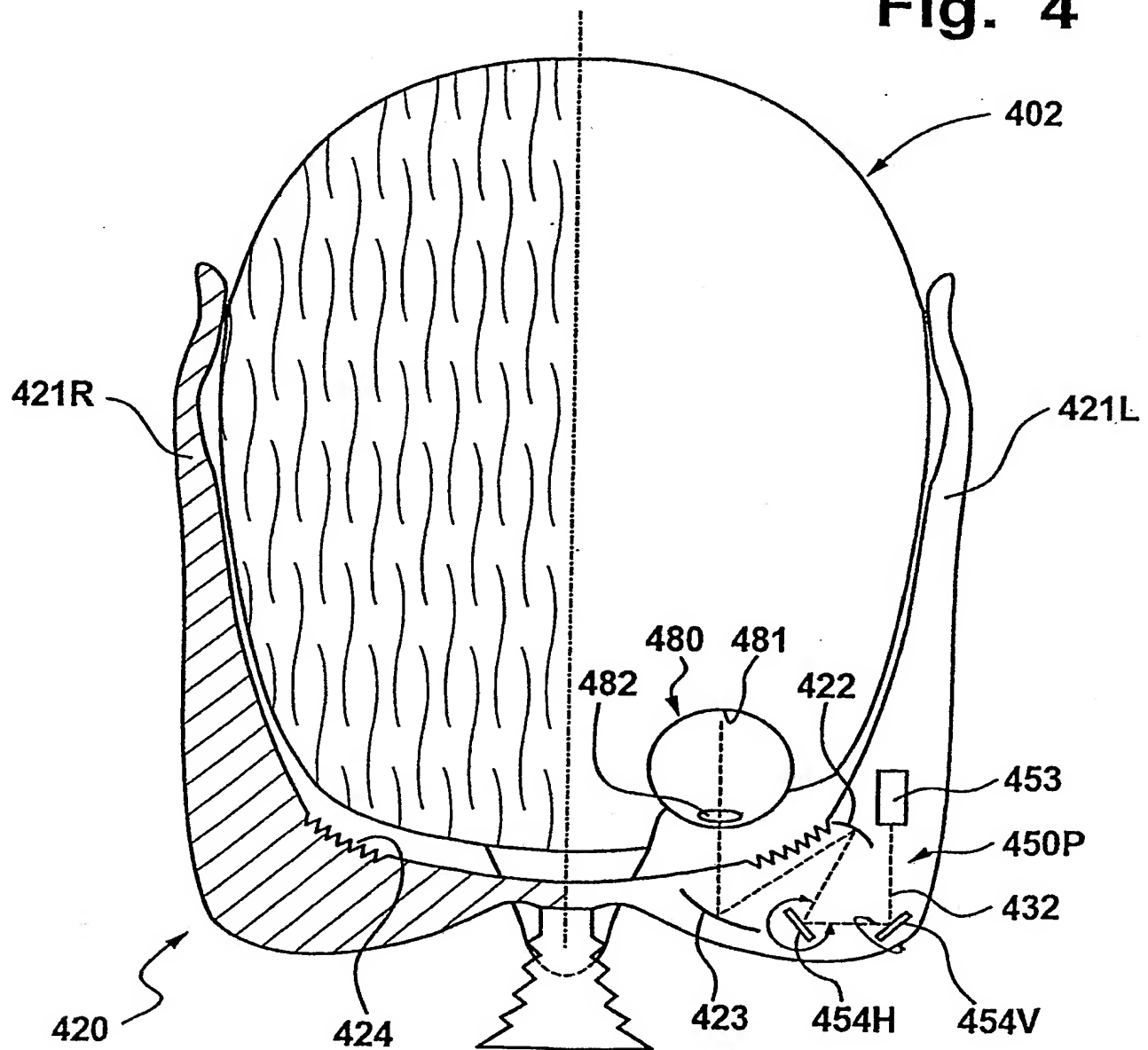
2 / 18

Fig. 3



3 / 18

Fig. 4



4 / 18

Fig. 5A

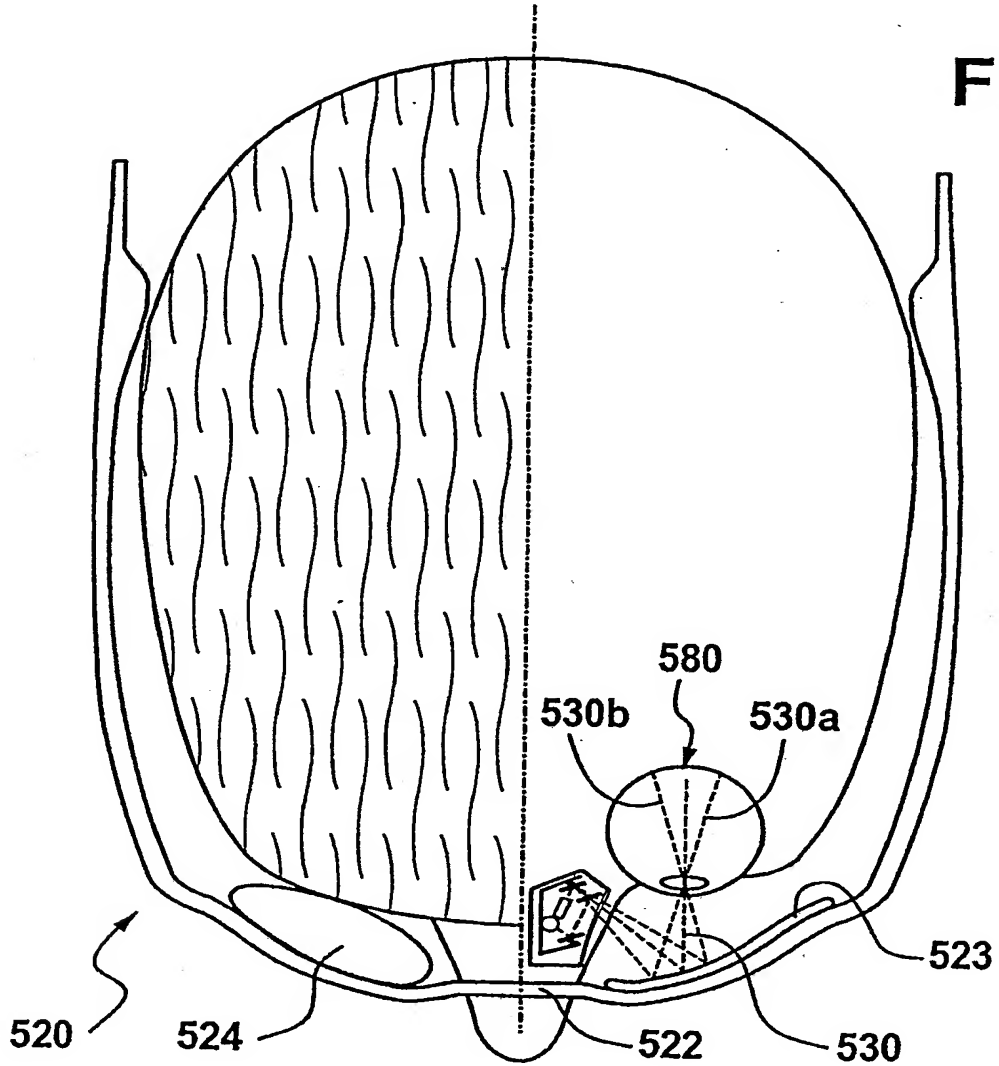
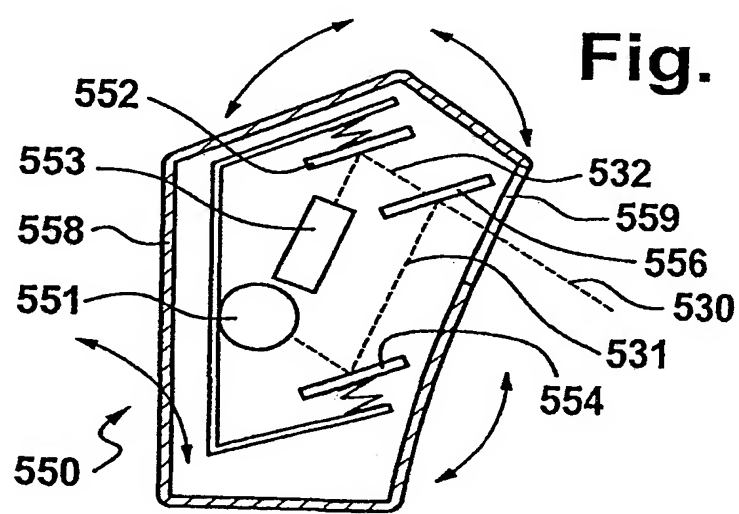


Fig. 5B



5 / 18

Fig. 6A

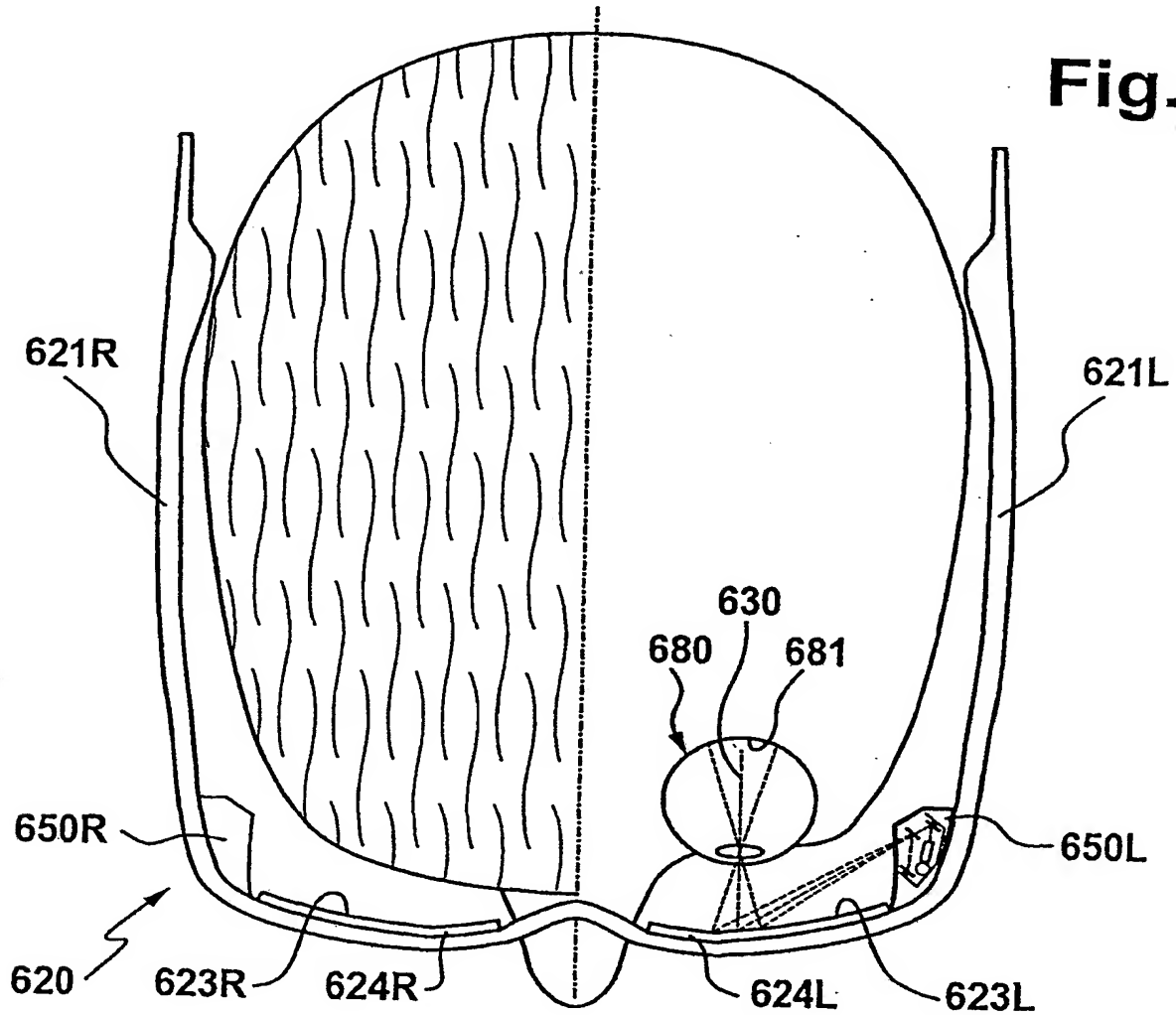
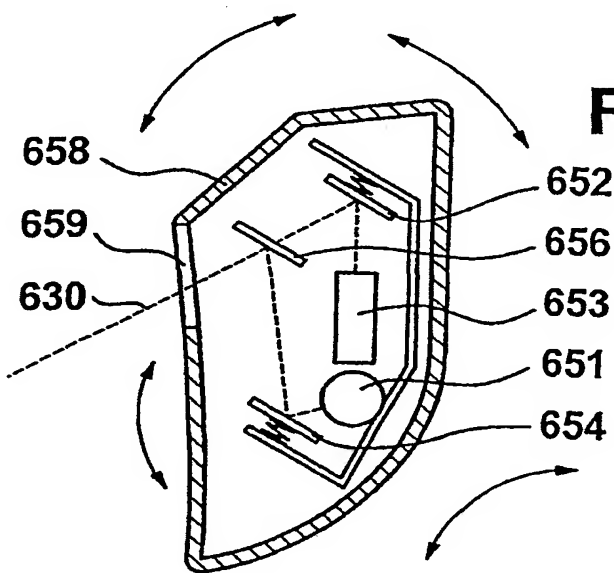


Fig. 6B



6 / 18

Fig. 7A

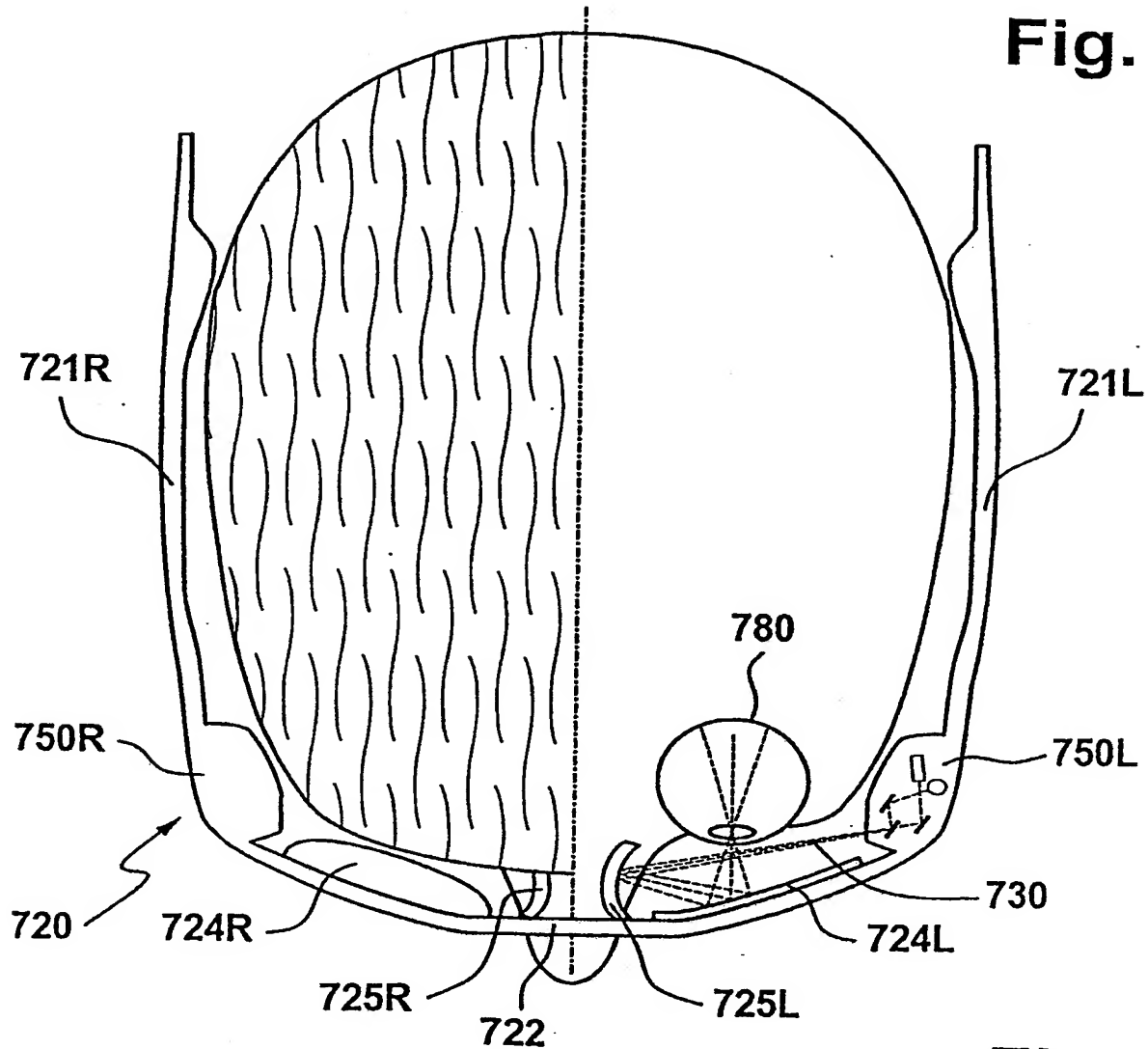
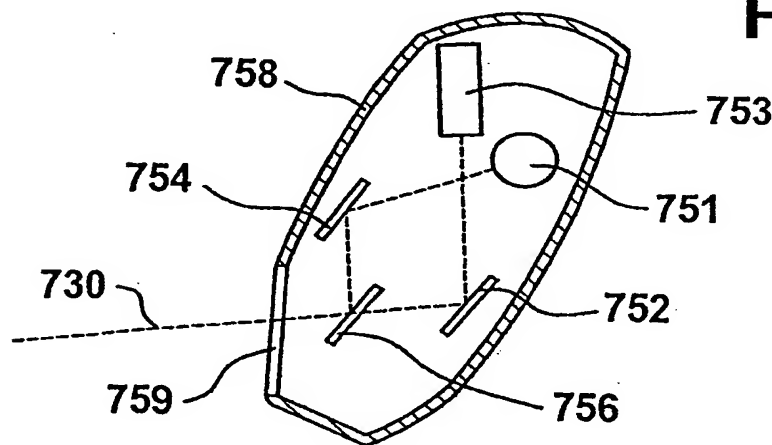
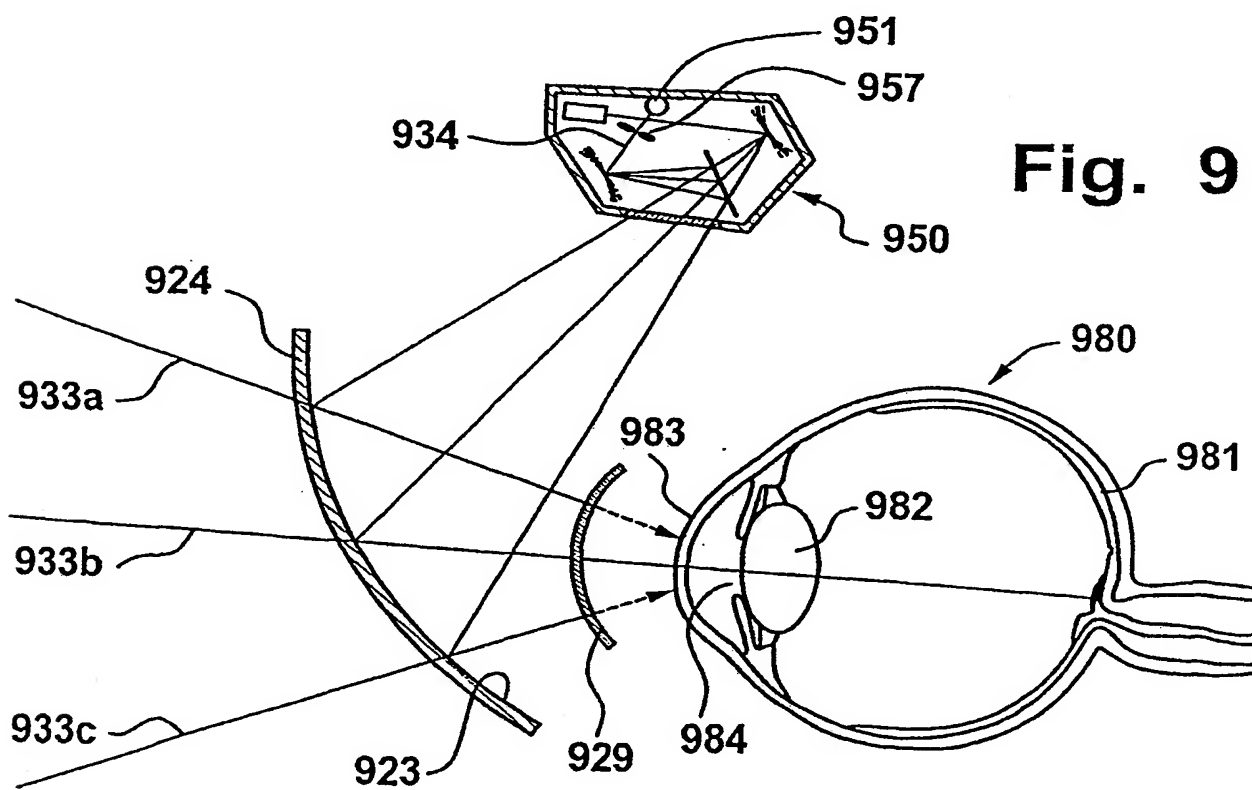
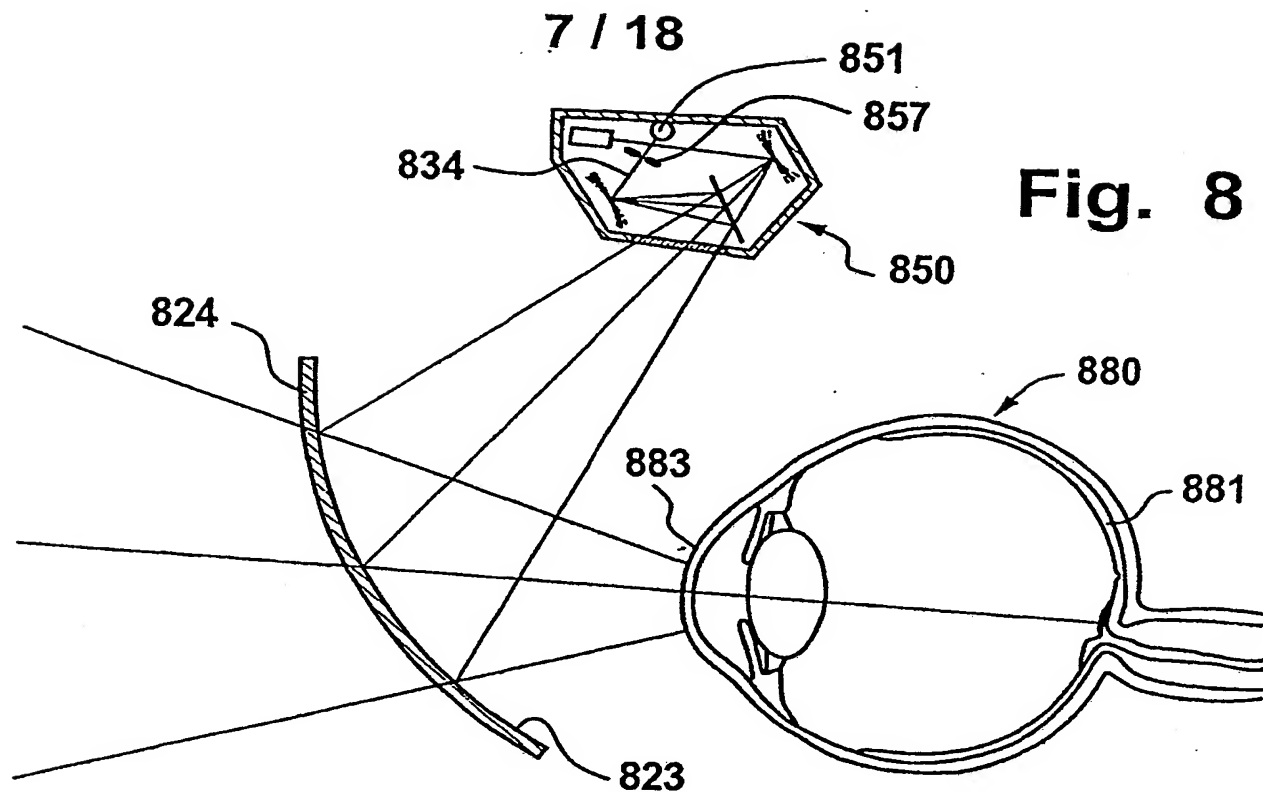


Fig. 7B





8 / 18

Fig. 10A

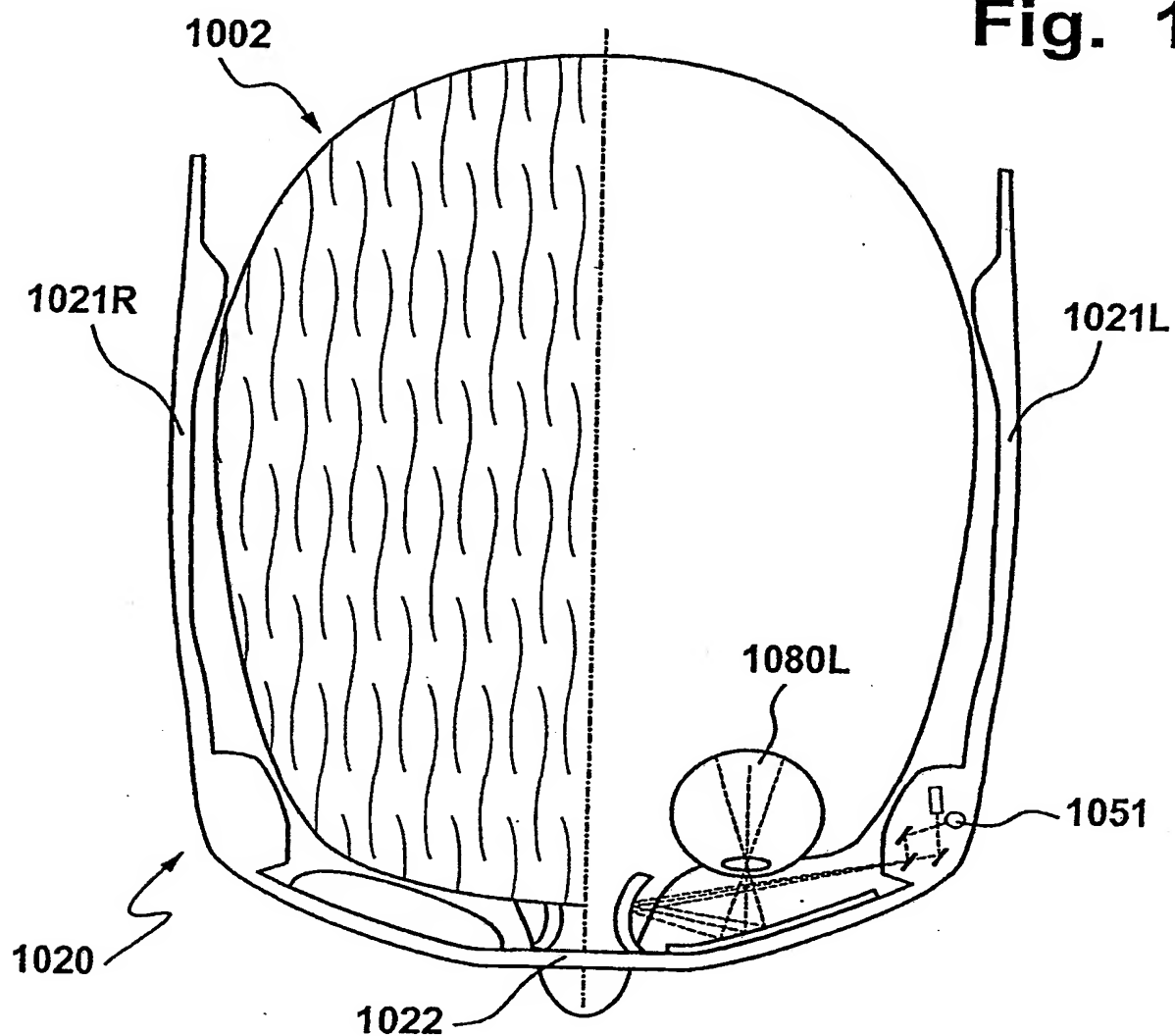
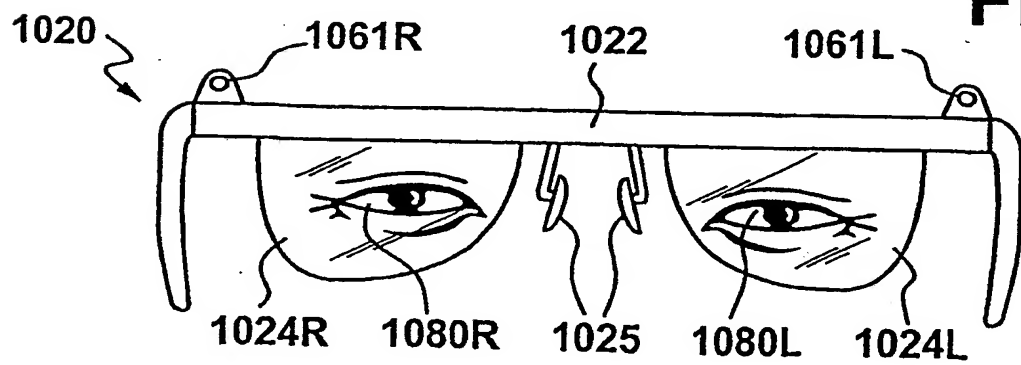


Fig. 10B



9 / 18

Fig. 11A

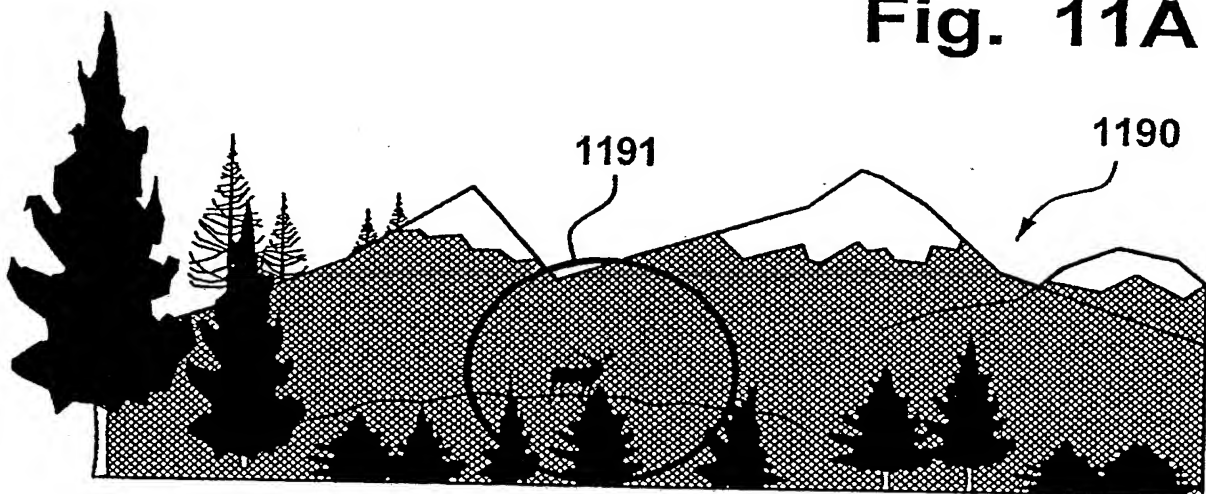
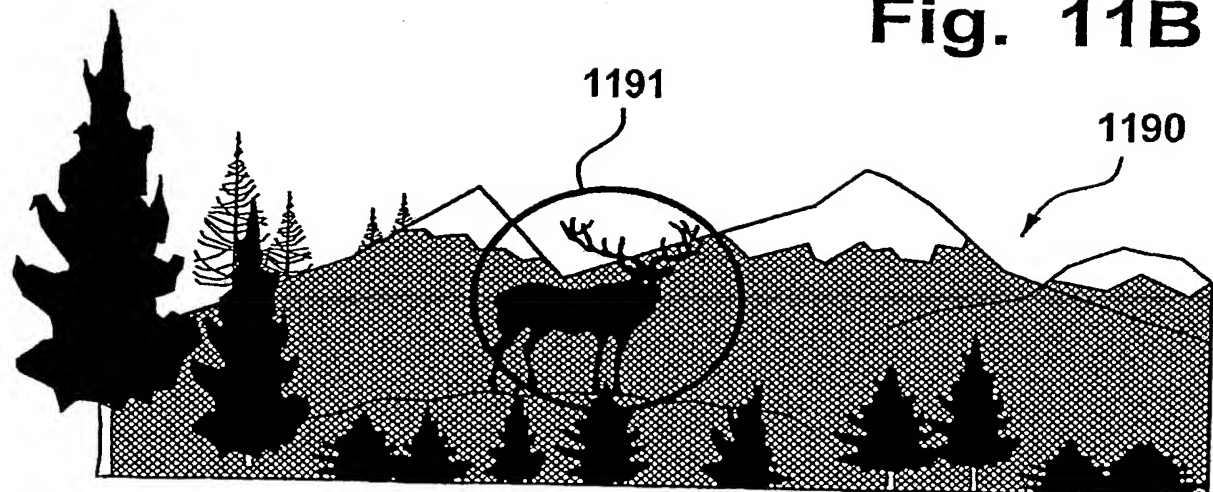


Fig. 11B



10 / 18

Fig. 11C

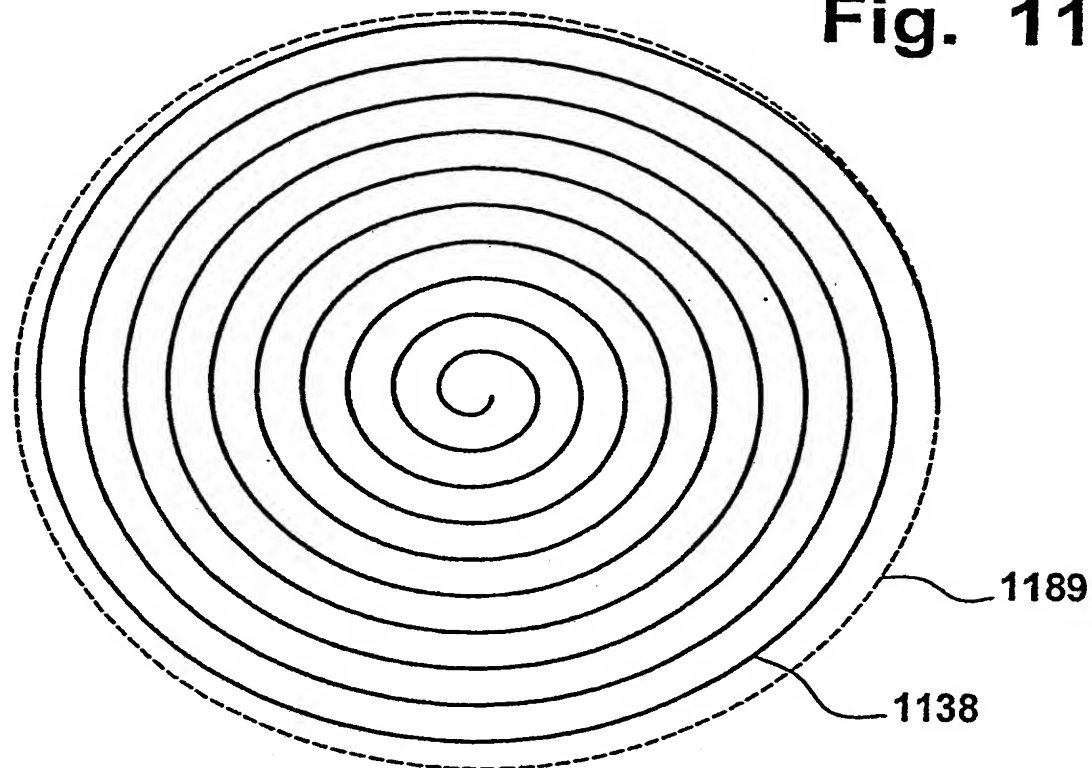
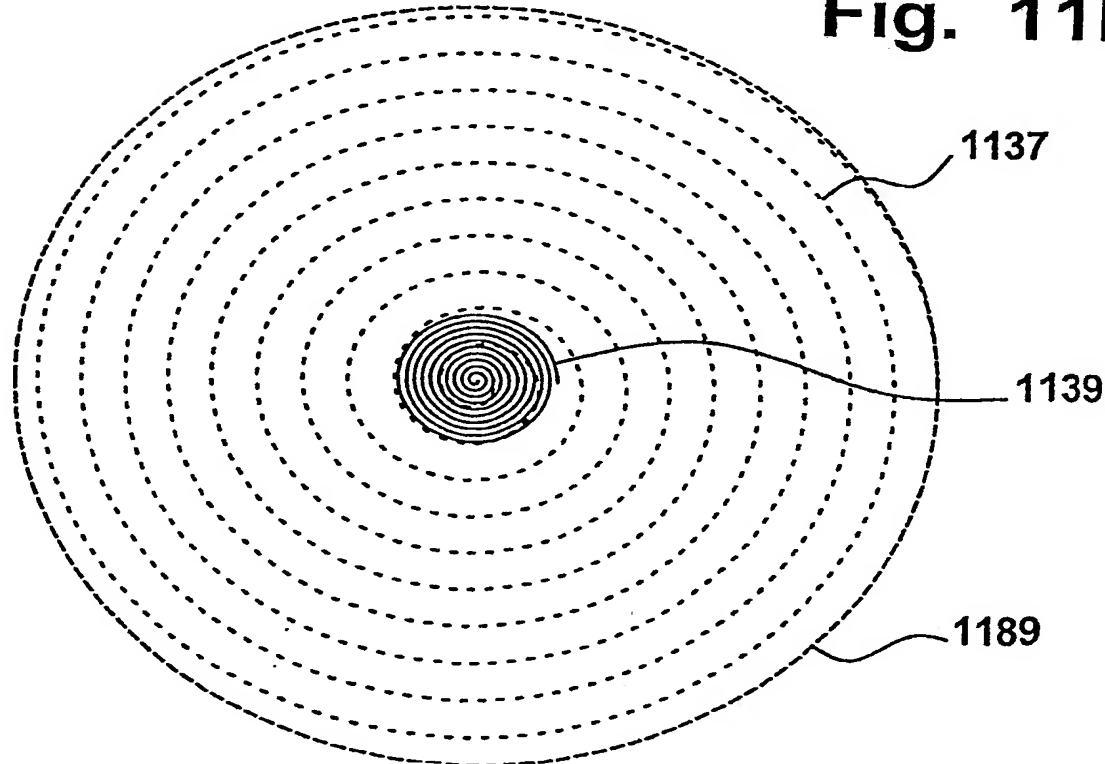
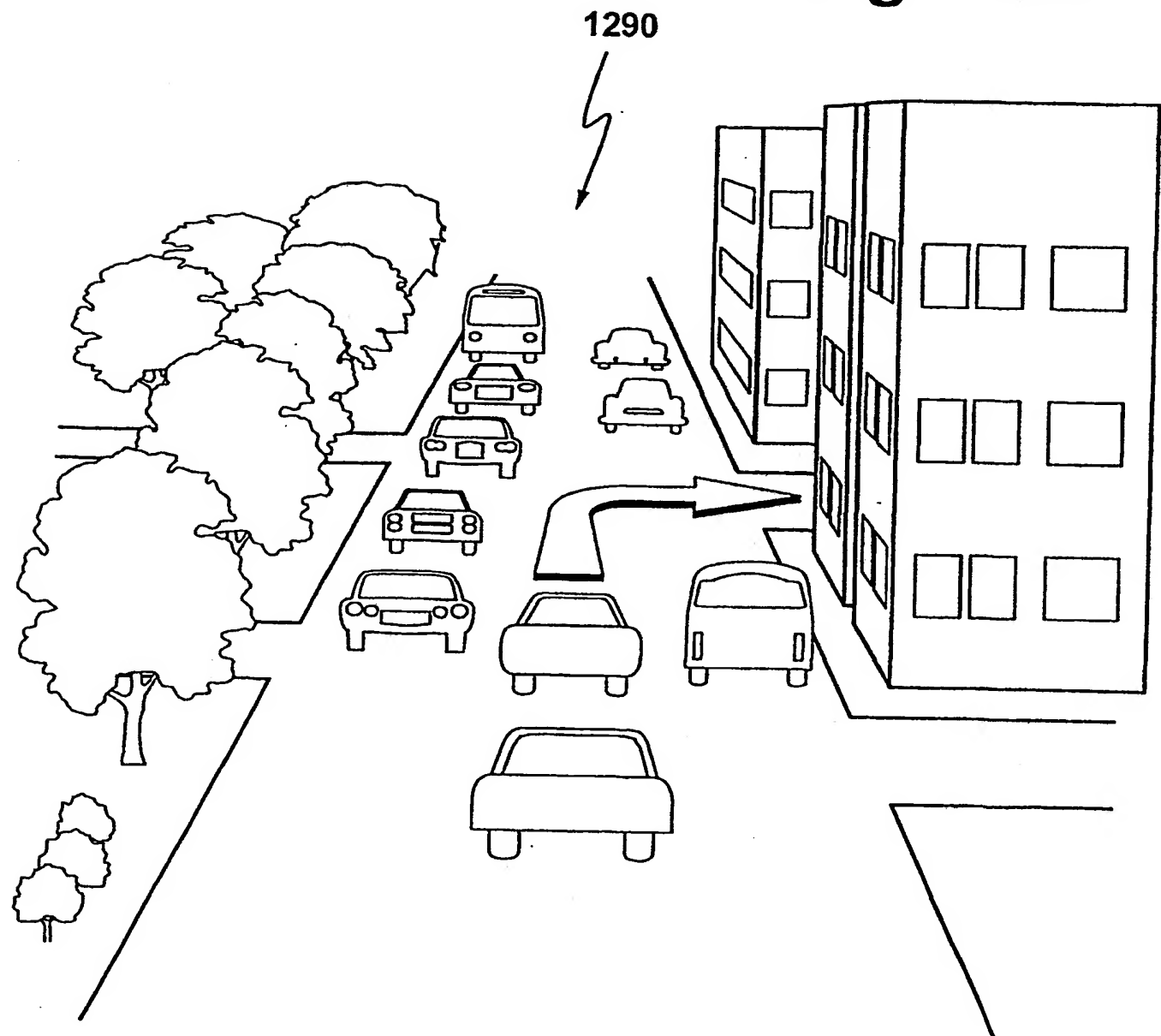


Fig. 11D



11 / 18

Fig. 12A



12 / 18

Fig. 12B

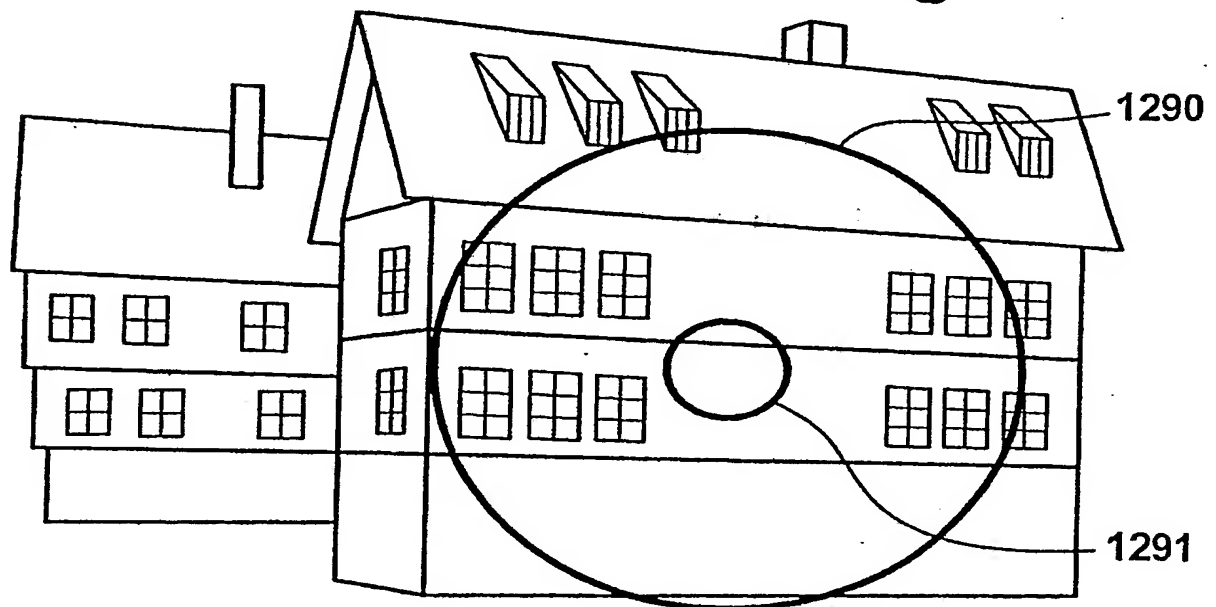
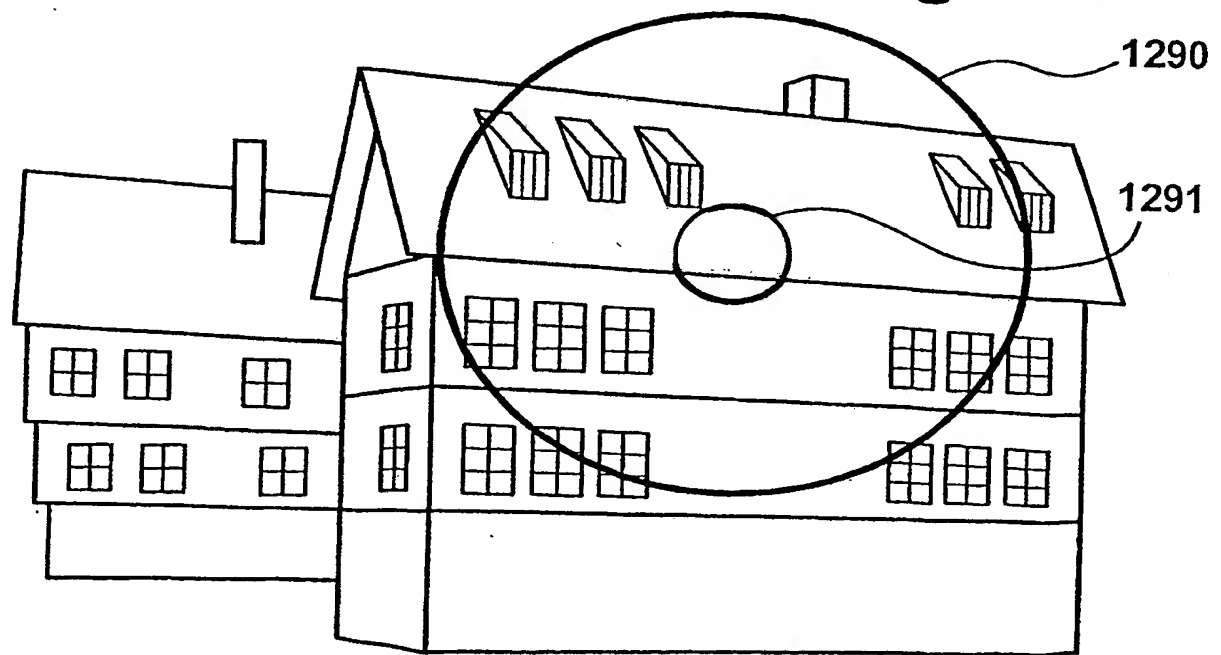


Fig. 12C



13 / 18

Fig. 12D

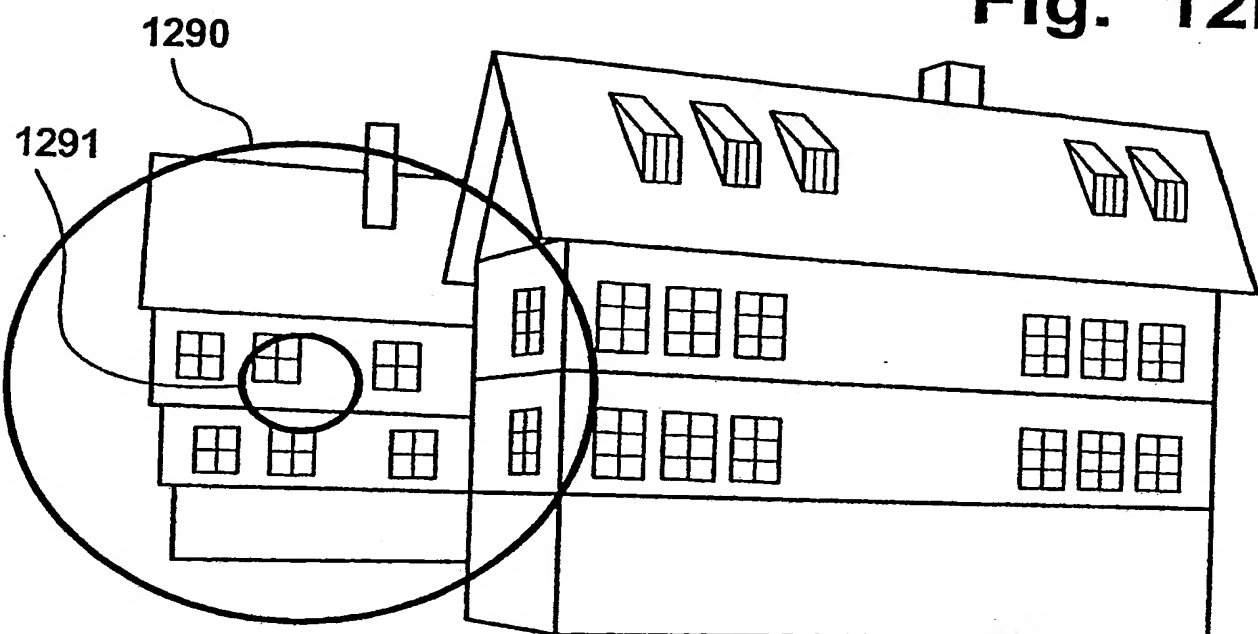
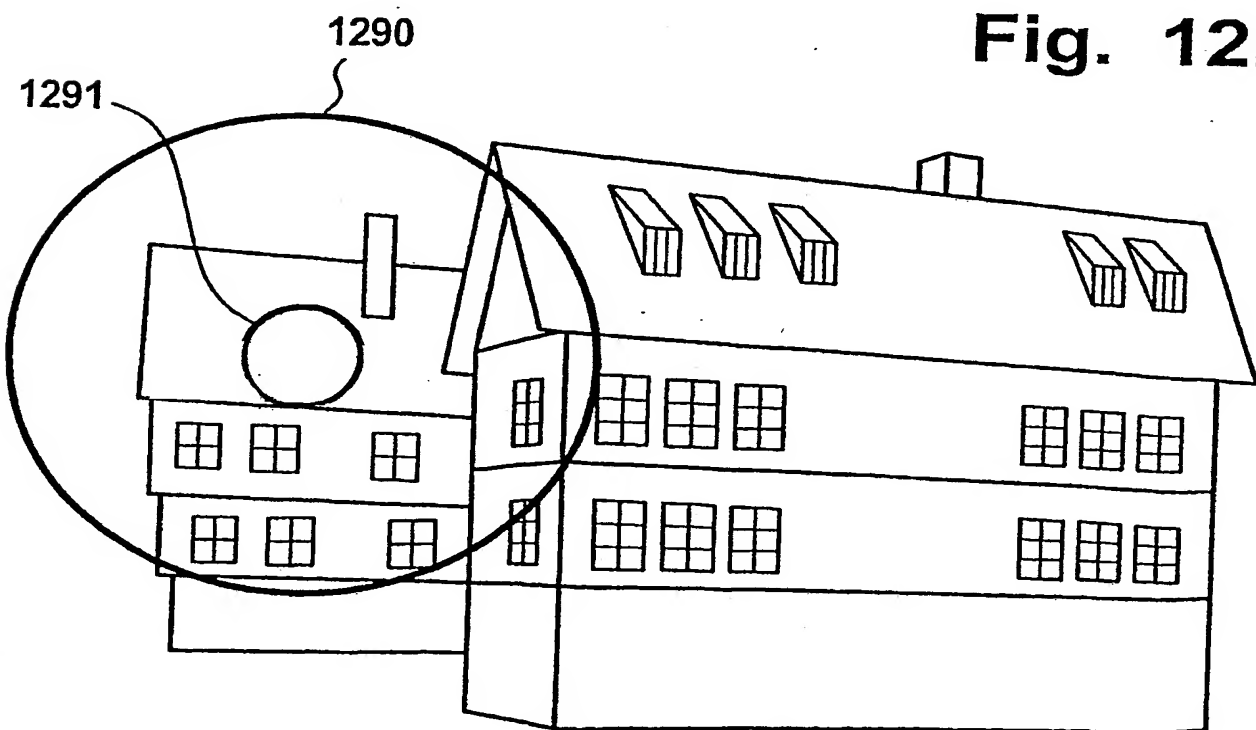


Fig. 12E



14 / 18

Fig. 13A

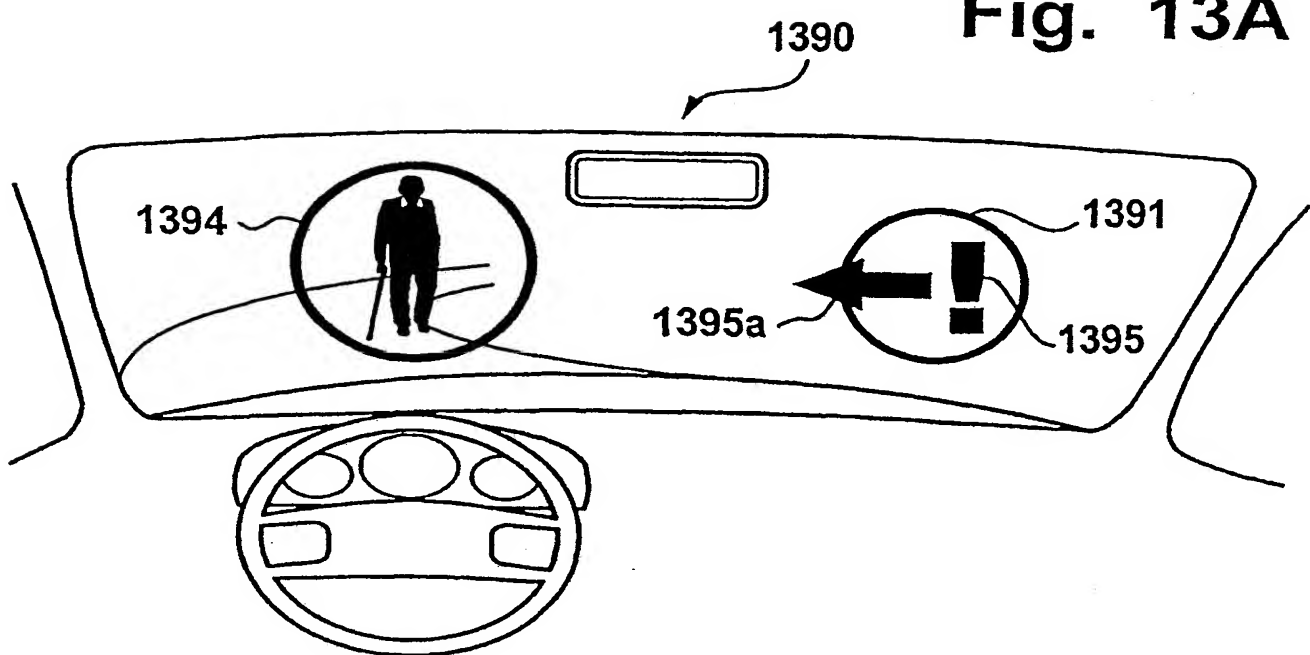
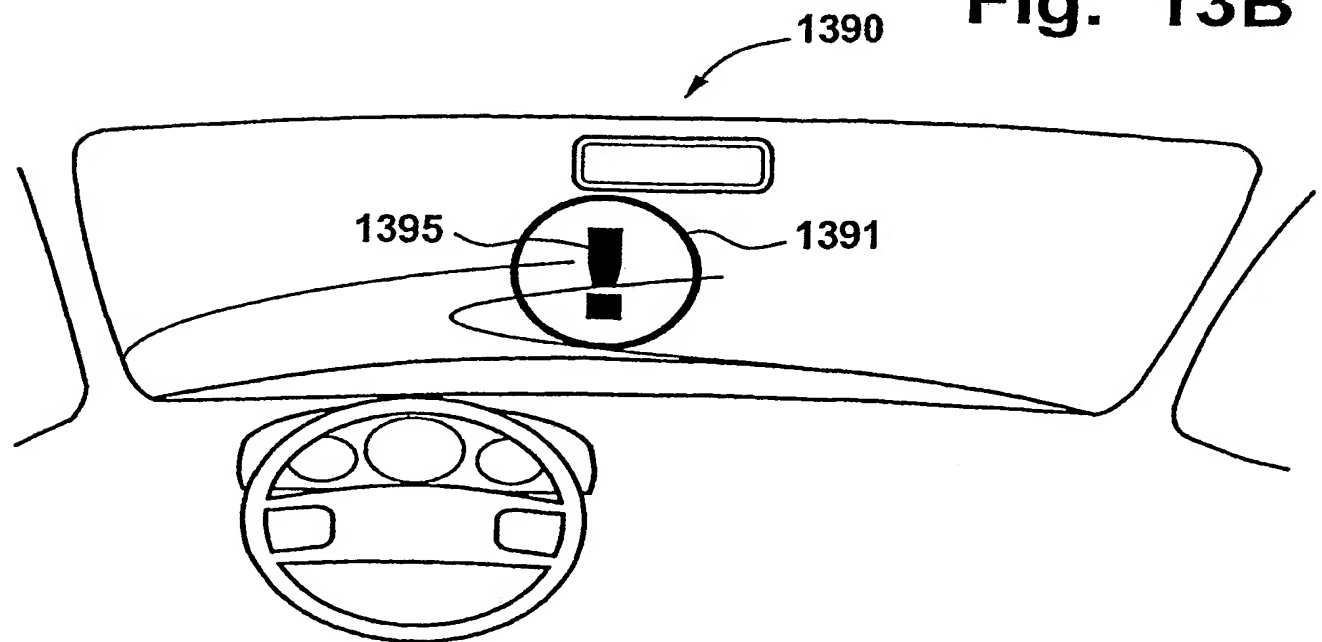


Fig. 13B



15 / 18

Fig. 14A

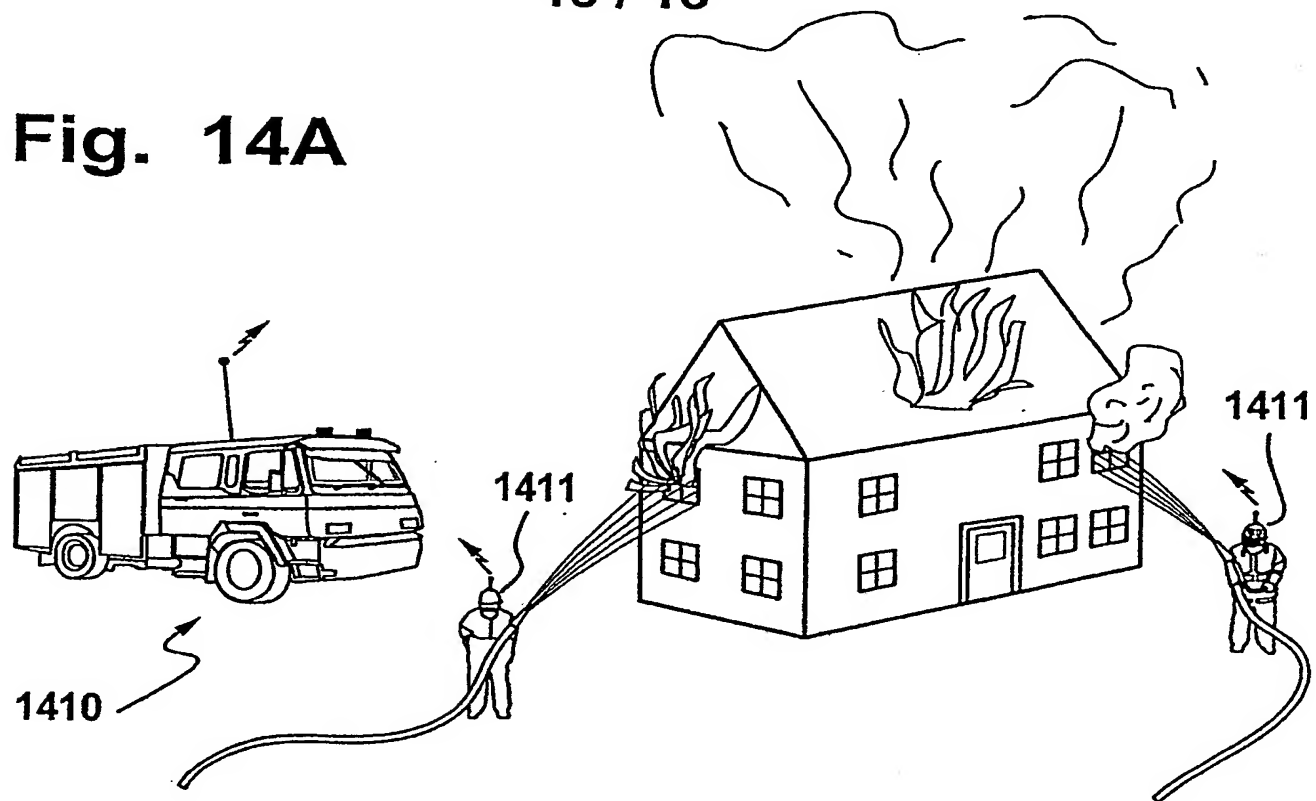
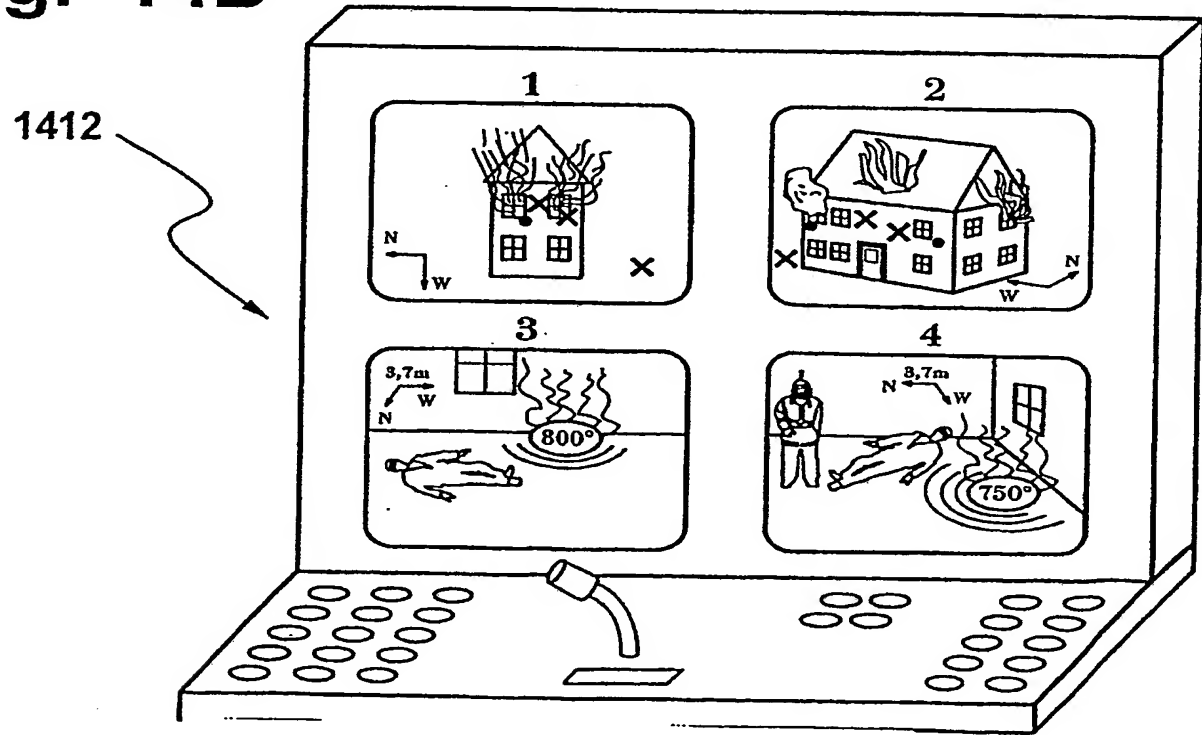


Fig. 14B



16 / 18

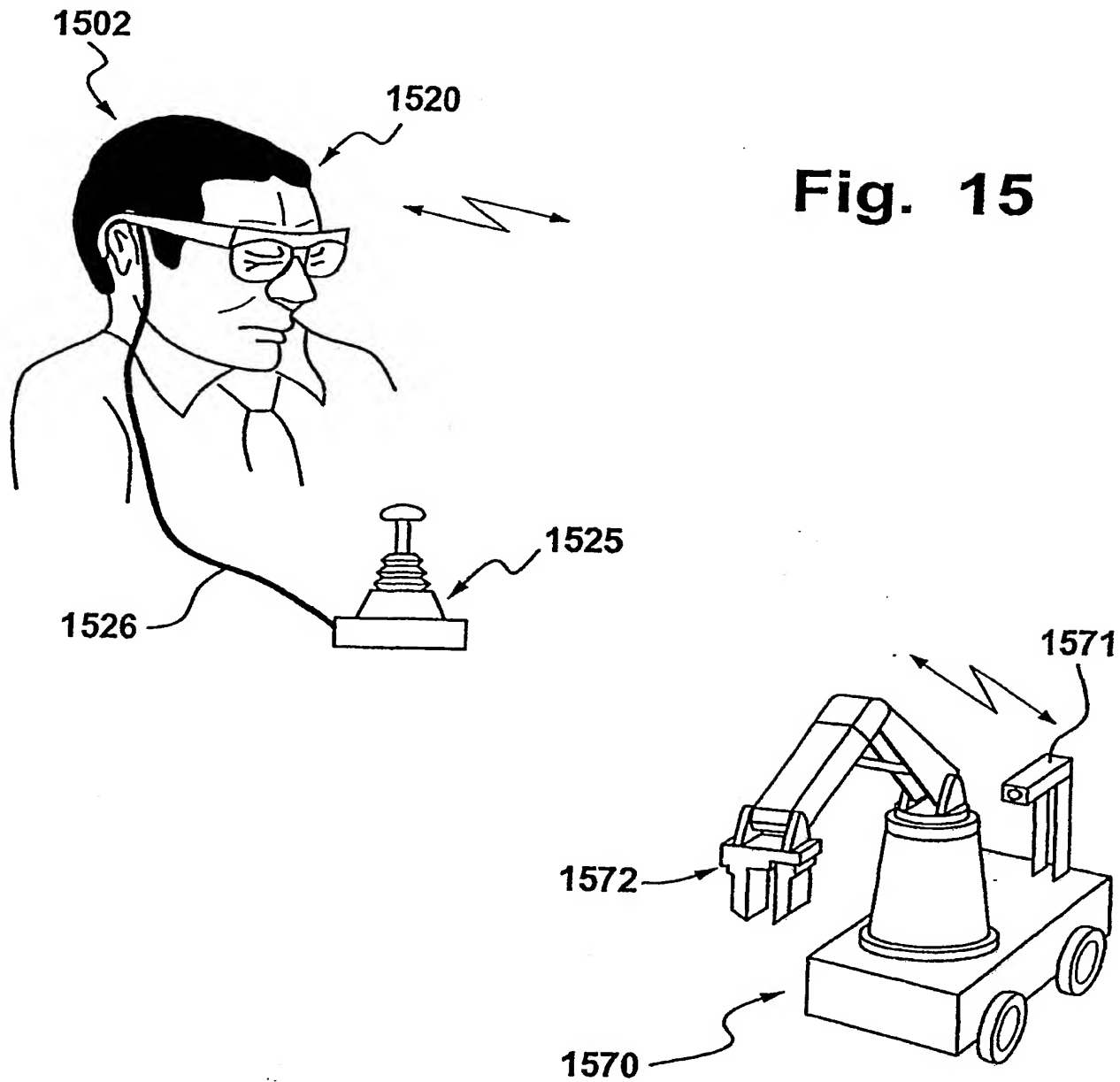
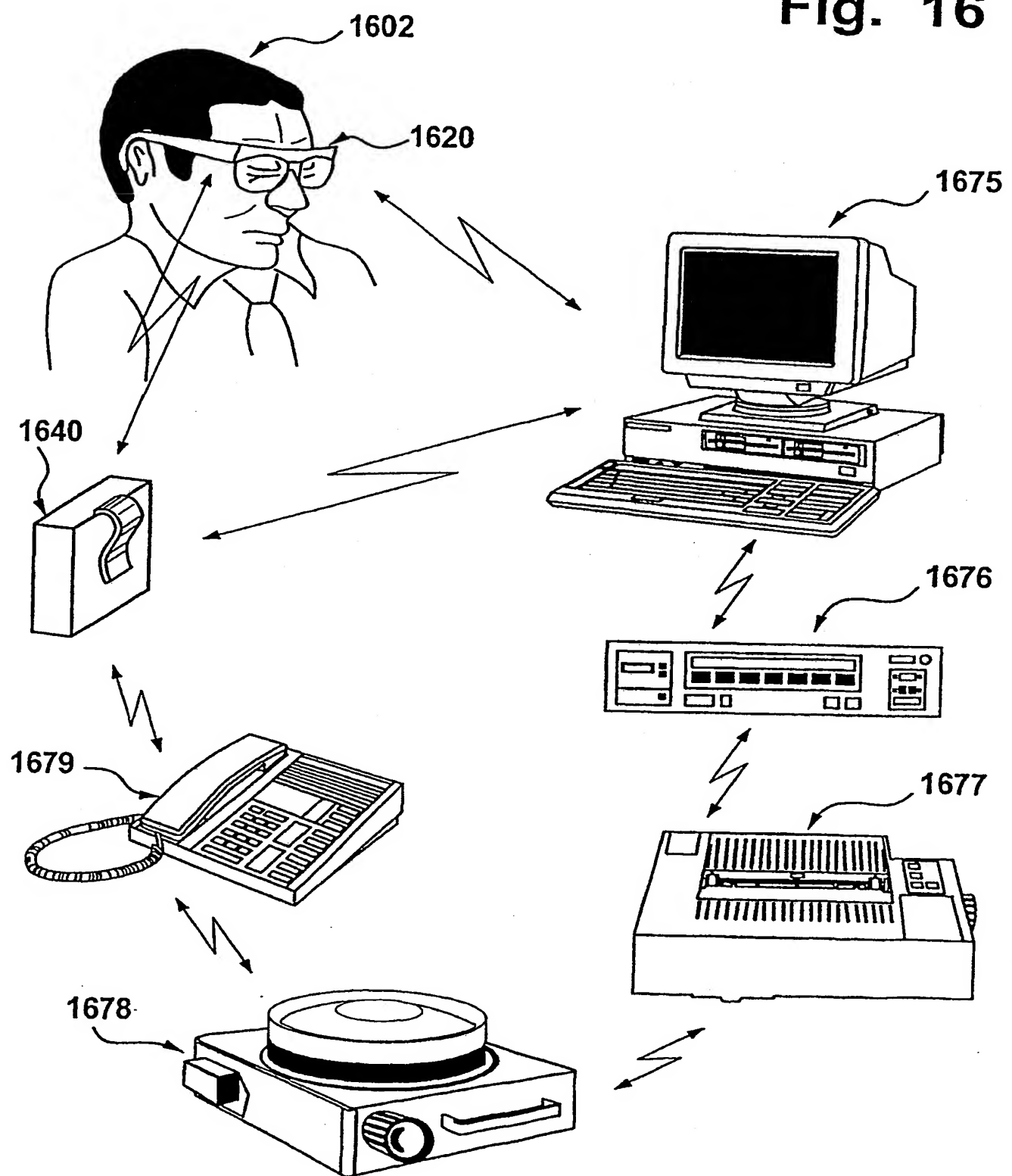


Fig. 15

17 / 18

Fig. 16



18 / 18

Fig. 17

